



Министерство науки и высшего образования Российской Федерации
федеральное государственное бюджетное образовательное учреждение
высшего профессионального образования
«Московский государственный технический университет имени
Н.Э. Баумана (национальный исследовательский университет)»
(МГТУ им. Н.Э. Баумана)

ФАКУЛЬТЕТ «Робототехники и комплексной автоматизации»
КАФЕДРА «Системы автоматизированного проектирования (РК-6)»

ОТЧЕТ О ВЫПОЛНЕНИИ ЛАБОРАТОРНОЙ РАБОТЫ по дисциплине «Вычислительная математика»

Студент:	Кильдишев Петр Степанович
Группа:	РК6-56Б
Тип задания:	лабораторная работа
Тема:	Модель Лотки–Вольтерры

Студент

подпись, дата

Кильдишев П.С.

Фамилия, И.О.

Преподаватель

подпись, дата

Фамилия, И.О.

Москва, 2022

Модель Лотки–Вольтерры		3
Задание		3
Цель выполнения лабораторной работы		4
1 Базовая часть		4
Разработка функции Рунге-Кутты		4
Нахождение траектории по начальным условиям		5
Фазовый портрет модели Лотки-Вольтерры		5
Вывод базовой части		7
2 Продвинутая часть		7
Аналитическое нахождение стационарных точек системы		7
Фазовый портрет траекторий с указанием стационарных позиций		9
Реализация метода Ньютона		9
Реализация метода градиентного спуска		10
Анализ нахождения стационарных точек численными методами		11
Вывод продвинутой части		15
3 Заключение		15

Модель Лотки–Вольтерры

Задание

Дана модель Лотки–Вольтерры в виде системы ОДУ $\frac{d\mathbf{x}}{dt} = \mathbf{f}(\mathbf{x})$, где $\mathbf{x} = \mathbf{x}(t) = [x(t), y(t)]^T$:

$$\frac{d}{dt} \begin{bmatrix} x \\ y \end{bmatrix} = \begin{bmatrix} \alpha x - \beta xy \\ \delta xy - \gamma y \end{bmatrix}, \quad (1)$$

где x – количество “жертв”, y – количество “хищников”, $\alpha = 3$ – коэффициент рождаемости “жертв”, $\beta = 0.002$ – коэффициент убыли “жертв”, $\delta = 0.0006$ – коэффициент рождаемости “хищников”, $\gamma = 0.5$ – коэффициент убыли “хищников”.

Требуется (базовая часть):

1. Написать функцию `rk4(x_0, t_n, f, h)`, возвращающую дискретную траекторию системы ОДУ с правой частью, заданную функцией f , начальным условием \mathbf{x}_0 , шагом по времени h и конечным временем t_n , полученную с помощью метода Рунге–Кутты 4-го порядка.
2. Найти траектории для заданной системы для ряда начальных условий $x_i^{(0)} = 200i, y_j^{(0)} = 200j$, где $i, j = 1, \dots, 10$.
3. Вывести все полученные траектории на одном графике в виде фазового портрета. Объясните, какой вид имеют все полученные траектории. В качестве подтверждения выведите на экран совместно графики траекторий $x(t)$ и $y(t)$ для одного репрезентативного случая.

Требуется (продвинутая часть):

1. Найти аналитически все стационарные позиции заданной системы ОДУ.
2. Отметить на фазовом портрете, полученном в базовой части, найденные стационарные позиции. Объясните, что происходит с траекториями заданной системы при приближении к каждой из стационарных позиций.
3. Написать функцию `newton(x_0, f, J)`, которая, используя метод Ньютона, возвращает корень векторной функции f с матрицей Якоби J и количество проведенных итераций. Аргументы f и J являются функциями, принимающими на вход вектор \mathbf{x} и возвращающими соответственно вектор и матрицу. В качестве критерия остановки следует использовать ограничение на относительное улучшение: $\|\mathbf{x}^{(k+1)} - \mathbf{x}^{(k)}\|_\infty < \epsilon$, где $\epsilon = 10^{-8}$.
4. Написать функцию `gradient_descent(x_0, f, J)`, которая, используя метод градиентного спуска, возвращает корень векторной функции f с матрицей Якоби J и количество проведенных итераций. Используйте тот же критерий остановки, что и в предыдущем пункте.

5. Используя каждую из функций `newton()` и `gradient_descent()`, провести следующий анализ:
 - (a) Найти стационарные позиции как нули заданной векторной функции $\mathbf{f}(\mathbf{x})$ для ряда начальных условий $x_i^{(0)} = 15i$, $y_i^{(0)} = 15j$, где $i, j = 0, \dots, 200$.
 - (b) Для каждой полученной стационарной позиции рассчитать её супремум-норму, что в результате даст матрицу супремум-норм размерности 201×201 .
 - (c) Вывести на экран линии уровня с заполнением для полученной матрицы относительно значений $x_i^{(0)}$, $y_i^{(0)}$.
 - (d) Описать наблюдения, исходя из подобной визуализации результатов.
 - (e) Найти математическое ожидание и среднеквадратическое отклонение количества итераций.
 - (f) Выбрать некоторую репрезентативную начальную точку из $x_i^{(0)}$, $y_i^{(0)}$ и продемонстрировать степень сходимости метода с помощью соответствующего `loglog` - графика.
6. Проанализировав полученные результаты, сравнить свойства сходимости метода Ньютона и метода градиентного спуска.

Цель выполнения лабораторной работы

Цель выполнения лабораторной работы: исследовать модель Лотки–Вольтерры.

1 Базовая часть

Все приведенные ниже примеры программного кода были реализованы на языке Python версии 3.9.

Разработка функции Рунге-Кутты

Правая часть ДУ (1) записана как:

$$\mathbf{f}(\mathbf{x}) = \begin{bmatrix} \alpha x - \beta xy \\ \delta xy - \gamma y \end{bmatrix}. \quad (2)$$

Метод Рунге-Кутты 4-го порядка для нахождения траектории динамической системы (решения задачи Коши по заданным начальным условиям) (1) с учетом того, что $\mathbf{f}(\mathbf{x})$ явно не зависит от координаты t :

$$\mathbf{x}^{(0)} = \begin{bmatrix} x^{(0)} \\ y^{(0)} \end{bmatrix},$$

$$\mathbf{k}_1 = h\mathbf{f}(\mathbf{x}^{(i)}), \mathbf{k}_2 = h\mathbf{f}(\mathbf{x}^{(i)} + \frac{1}{2}\mathbf{k}_1),$$

$$\mathbf{k}_3 = h\mathbf{f}(\mathbf{x}^{(i)} + \frac{1}{2}\mathbf{k}_2), \mathbf{k}_4 = h\mathbf{f}(\mathbf{x}^{(i)} + \mathbf{k}_3),$$

$$\mathbf{x}^{(i+1)} = \mathbf{x}^{(i)} + \frac{1}{6}(\mathbf{k}_1 + 2\mathbf{k}_2 + 2\mathbf{k}_3 + \mathbf{k}_4),$$

где h - шаг по времени, $i = 0, 1, \dots, n$; $n = \frac{t_n}{h}$, t_n - конечное время.

Несмотря на то, что t не используется в методе Рунге-Кутты явно, значения $t^{(i)}$, где $i = 0, \dots, n+1$ важно знать:

$$t^{(0)} = 0,$$

$$t^{(i+1)} = t^{(i)} + h, i = 1, \dots, n.$$

Программная реализация метода Рунге-Кутты представлена в Листинге 1:

Листинг 1. Программная реализация метода Рунге-Кутты

```

1 def r_k4(x_0, t_n, f, h):
2     t = np.array([i * h for i in range(0, int(t_n // h) + 2)])
3     w = [x_0]
4     for i in range(len(t) - 1):
5         k1 = h * f(w[i])
6         k2 = h * f(w[i] + 1 / 2 * k1)
7         k3 = h * f(w[i] + 1 / 2 * k2)
8         k4 = h * f(w[i] + k3)
9         w.append(w[i] + 1 / 6 * (k1 + 2 * k2 + 2 * k3 + k4))
10    return t, w

```

Нахождение траектории по начальным условиям

Нахождение траектории для ряда начальных условий $x_i^{(0)} = 200i, y_j^{(0)} = 200j$. где $i, j = 1, \dots, 10$ приведено в Листинге 2:

Листинг 2. Lf[Нахождение траектории для ряда начальных условий

```

1 for i in range(1, 11):
2     for j in range(1, 11):
3         t, w = r_k4(np.array([200 * i, 200 * j]), t_n, f, h)

```

Фазовый портрет модели Лотки-Вольтерры

Полученные траектории для заданной системы для ряда начальных условий из задания 2 в виде фазового портрета (Рис. 1):

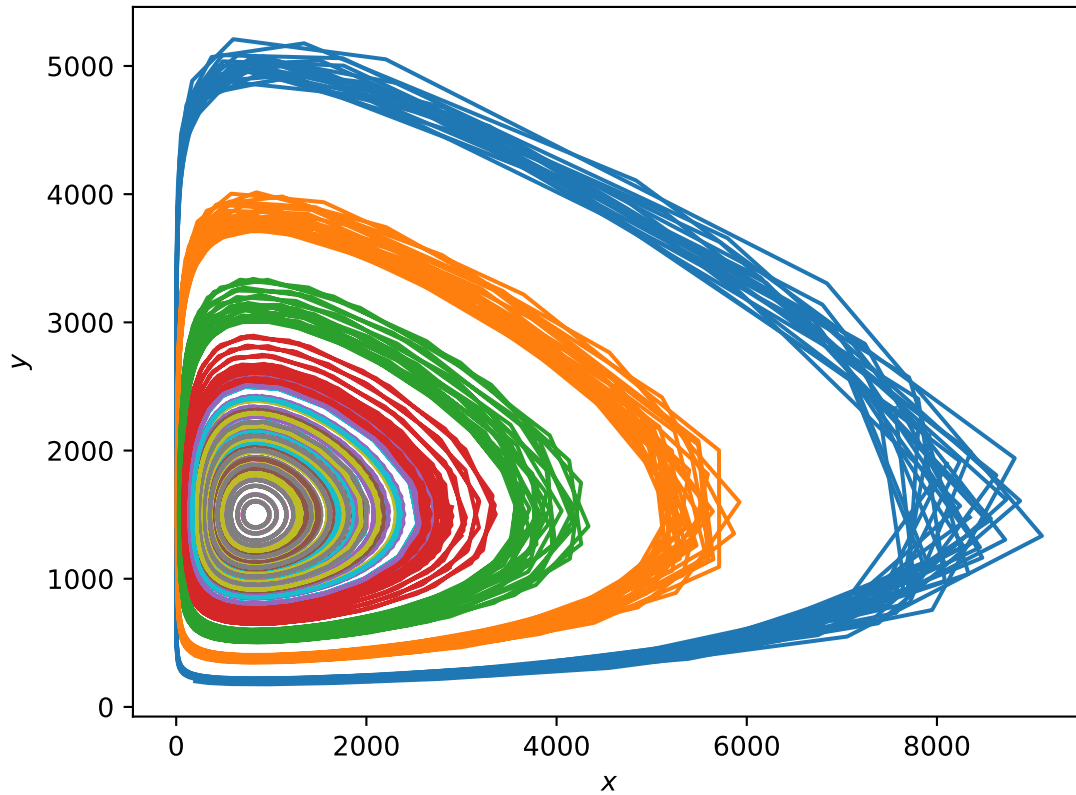


Рис. 1. Фазовый портрет модели Лотки-Вольтерры

Полученные траектории имеют вид циклических эллипсоид.

По полученным траекториям видно, что при росте количества "жертв" x , начинает расти количество "хищников" y . "Хищники" начинают "поглощать" популяцию "жертв", от чего количество "хищников" растет еще больше. Затем популяция "жертв" становится мала, от чего "хищникам" становится нечем "питаться" и их количество начинает стремительно уменьшаться, пока не возвратится в исходное состояние. Таким образом цикл повторяется.

Для подтверждения вышесказанного приведены графики $x(t), y(t)$ на одной координатной плоскости (Рис. 2):

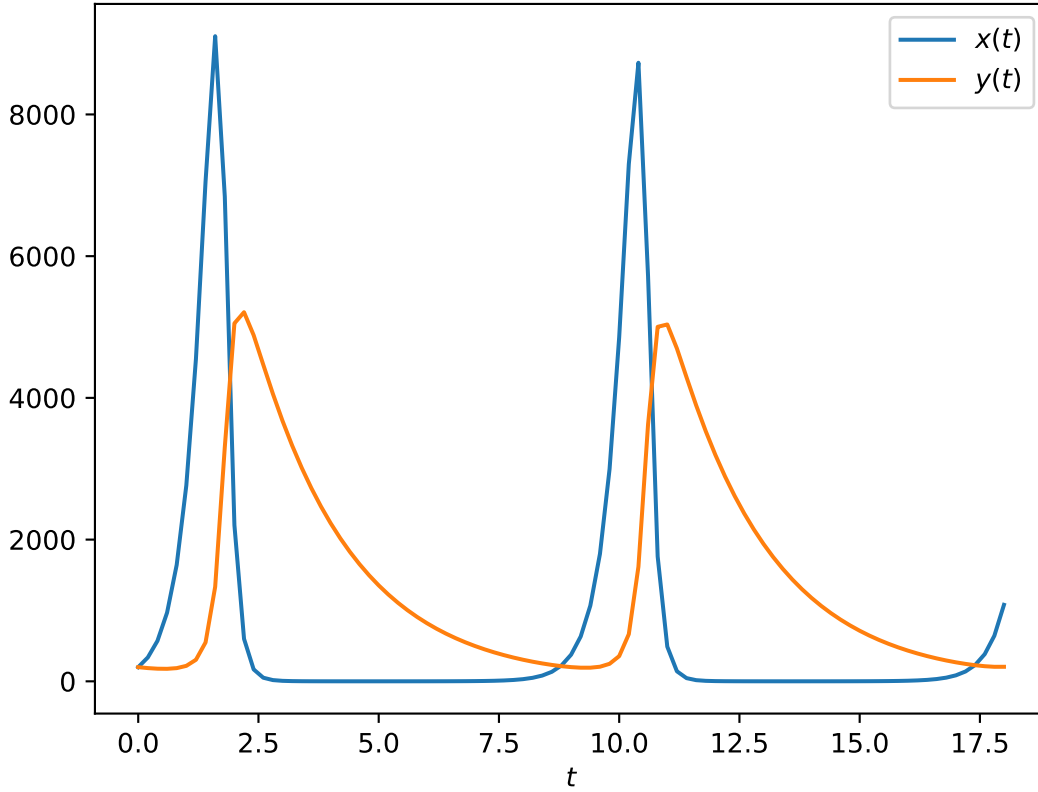


Рис. 2. Графики количества "жертв" x и "хищников" y от t

Полученные зависимости подходят под описание вышесказанного.

Вывод по базовой части

При отсутствии "хищников", количество "жертв" растет, что приводит к росту количества "хищников", в следствие чего количество "жертв" падает, из-за чего падает и количество "хищников". Затем цикл повторяется.

Такова траектория модели Лотки-Вольтерры.

2 Продвинутая часть

Аналитическое нахождение стационарных точек системы

Стационарная позиция динамической системы - постоянная во времени точка $\mathbf{x}^*(t) = const$. Для ее нахождения значение производной функции (2) приравнено к $\mathbf{0}$:

$$\begin{bmatrix} \alpha x - \beta xy \\ \delta xy - \gamma y \end{bmatrix} = \mathbf{0}.$$

Результат - система из 2-х уравнений:

$$\begin{cases} \alpha x - \beta xy = 0 \\ \delta yx - \gamma y = 0 \end{cases}$$

$$\begin{cases} xy = \frac{\alpha}{\beta} x \\ xy = \frac{\gamma}{\delta} y \end{cases} \quad (3)$$

Из (3):

$$y = \frac{\alpha\delta}{\beta\gamma} x. \quad (4)$$

При подстановке (4) в (3) получается:

$$x_1 = \frac{\delta}{\gamma} = \frac{2500}{3}; \quad (5)$$

$$x_2 = 0. \quad (6)$$

При подстановке (5) и (6) в (4) получается:

$$y_1 = \frac{\alpha}{\beta} = 1500, \quad (7)$$

$$y_2 = 0. \quad (8)$$

Фазовый портрет траекторий с указанием стационарных позиций

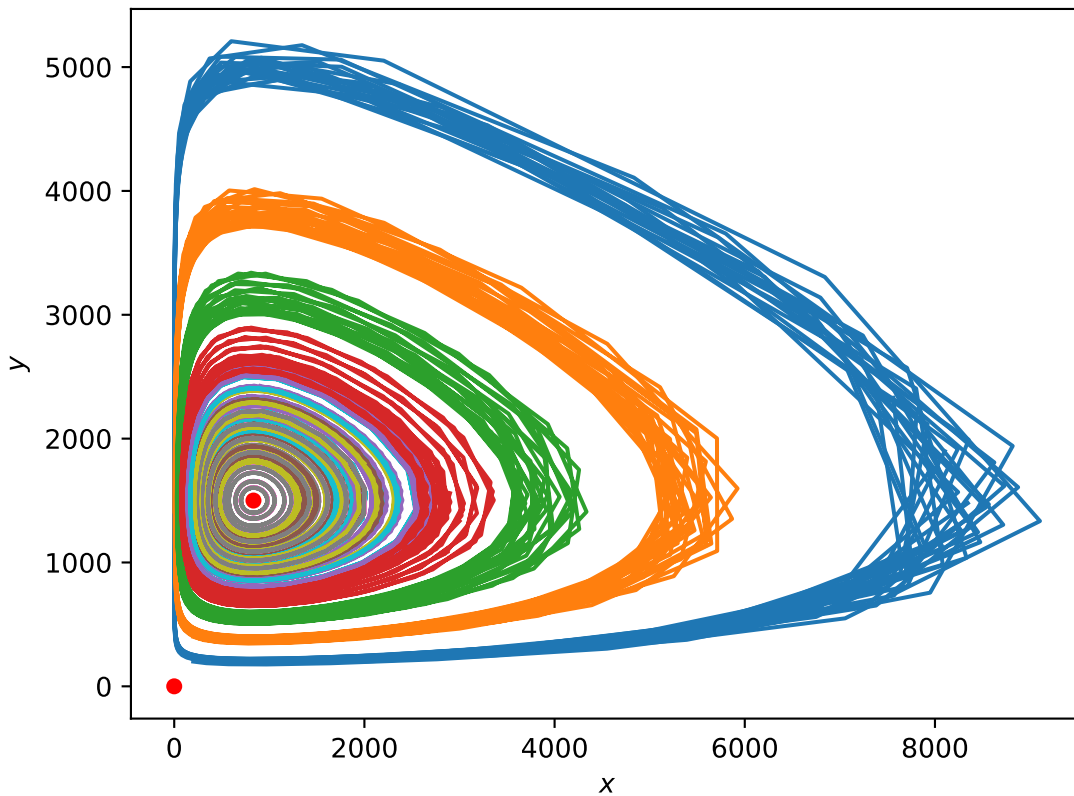


Рис. 3. Фазовый портрет траекторий для системы ОДУ (1) для ряда начальных условий с указанием найденных стационарных позиций

Стационарные точки описывают позиции, в которых система перестает изменяться. На рисунке 3 видно, динамическая система стремится к значениям стационарной точки $(\frac{2500}{3}; 1500)$ и совершает вокруг нее циклические изменения. К точке $(0; 0)$ система не стремится, так как при не нулевых значениях, x и y не будут равны 0.

Реализация метода Ньютона

Двухшаговый метод Ньютона имеет вид:

$$J(x^{(k-1)})y^{(k-1)} = f(x^{(k-1)}), \quad (9)$$

$$x^{(k)} = x^{(k-1)} - y^{(k-1)}, \quad (10)$$

где $\mathbf{y}^{(k-1)}$ находится через решение первого уравнения, $\mathbf{J}(\mathbf{x}^{(k-1)})$ - матрица Якоби для точки $\mathbf{x}^{(k-1)}$. Для решения СЛАУ из уравнений (9) и (10) используются функция разбиения матрицы на верхне-треугольную и нижне-треугольную - `lu(A, permute)` и функция решения СЛАУ методом LU-разложения - `solve(L, U, P, b)`, которые были реализованы в лабораторной работе №3.

Программная реализация метода Ньютона представлена в Листинге 3, где в качестве критерия останова было использовано ограничение на относительное улучшение: $\|\mathbf{x}^{(k+1)} - \mathbf{x}^{(k)}\|_\infty < \epsilon$, где $\epsilon = 10^{-8}$:

Листинг 3. Программная реализация метода Ньютона

```

1 def newton(x_0, f, J):
2     count = 1
3     J_ = J(x_0)
4     P, L, U = lu_perm(J_, 1)
5     b = np.array([[f(x_0)[0]], [f(x_0)[1]]], dtype=np.float64)
6     y = solve(L, U, P, b)
7     x_1 = x_0 - y
8     while abs(np.linalg.norm(x_0, ord=np.inf) - np.linalg.norm(x_1, ord=np.inf)) >
9           0.00000001:
10         x_0 = x_1
11         J_ = J(x_0)
12         P, L, U = lu_perm(J_, 1)
13         y = solve(L, U, P, f(x_0))
14         x_1 = x_0 - y
15         count += 1
16     return x_1, count

```

Реализация метода градиентного спуска

Метод градиентного спуска имеет вид:

$$\mathbf{z}^{(k)} = \mathbf{J}^T(\mathbf{x}^{(k-1)})\mathbf{f}(\mathbf{x}^{(k-1)}), \quad \mathbf{x}^{(k)} = \mathbf{x}^{(k-1)} - t^{(k)} \frac{\mathbf{z}^{(k)}}{\|\mathbf{z}^{(k)}\|_2}, \quad (11)$$

где $t^{(k)}$ - шаг поиска на k -том шаге.

Для нахождения квазиоптимального шага $t^{(k)}$ используется алгоритм дробного шага:

$$t^{(k)} = \frac{a^{(k)}(t_2^{(k)} + t_3^{(k)}) + b^{(k)}(t_1^{(k)} + t_3^{(k)}) + c^{(k)}(t_1^{(k)} + t_2^{(k)})}{2(a^{(k)} + b^{(k)} + c^{(k)})},$$

где

$$a^{(k)} = \frac{h(t_1^{(k)})}{(t_1^{(k)} - t_2^{(k)})(t_1^{(k)} - t_3^{(k)})},$$

$$b^{(k)} = \frac{h(t_2^{(k)})}{(t_2^{(k)} - t_1^{(k)})(t_2^{(k)} - t_3^{(k)})},$$

$$c^{(k)} = \frac{h(t_3^{(k)})}{(t_3^{(k)} - t_1^{(k)})(t_3^{(k)} - t_2^{(k)})},$$

$$h(t) = g(\mathbf{x}^{(k-1)} - t^{(k)} \frac{z^{(k)}}{\|z^{(k)}\|_2},$$

$$g(\mathbf{x}) = \mathbf{f}^T(\mathbf{x})\mathbf{f}(\mathbf{x}),$$

где $t_1 = 0$, $t_2 = \frac{t_3}{2}$, а t_3 подбирается путем деления или умножения начального значения, равного 1.

Программная реализация метода градиентного спуска представлена в Листинге 4, где в качестве критерия остановки было использовано ограничение на относительное улучшение: $\|\mathbf{x}^{(k+1)} - \mathbf{x}^{(k)}\|_\infty < \epsilon$, где $\epsilon = 10^{-8}$:

Листинг 4. Программная реализация метода градиентного спуска

```

1 def newton(x_0, f, J):
2     count = 1
3     J_ = J(x_0)
4     P, L, U = lu_perm(J_, 1)
5     b = np.array([[f(x_0)[0]], [f(x_0)[1]]], dtype=np.float64)
6     y = solve(L, U, P, b)
7     x_1 = x_0 - y
8     while abs(np.linalg.norm(x_0, ord=np.inf) - np.linalg.norm(x_1, ord=np.inf)) >
        0.00000001:
9         x_0 = x_1
10        J_ = J(x_0)
11        P, L, U = lu_perm(J_, 1)
12        y = solve(L, U, P, f(x_0))
13        x_1 = x_0 - y
14        count += 1
15    return x_1, count

```

[a1] * (None) @ (None) * (None) * (None) * (None)

Анализ нахождения стационарных точек численными методами

Нахождение стационарных позиций, как нулей заданной векторной функции (2) для ряда начальных значений $x_i^{(0)} = 15i$, $y_j^{(0)} = 15j$, где $i, j = 1, \dots, 200$. приведено в Листинге 5:

Листинг 5. Нахождение стационарных позиций

```

1 for i in range(0, 201):
2     for j in range(0, 201):
3         x1, c1 = newton(np.array([15 * i, 15 * j]), f, J)
4         x2, c2 = gradient_descent(np.array([15 * i, 15 * j]), f, J)

```

Супремум-норма для каждой стационарной позиции $\|\mathbf{x}_{ij}^*\|_\infty$ находится на каждой итерации i и j . Из них формируется матрица.

Линии уровня для матриц супремум-норм, полученных разными методами относительно $\frac{x_i^{(0)}}{15}$ и $\frac{x_i^{(0)}}{15}$ представлены на рисунках 4 и 5:

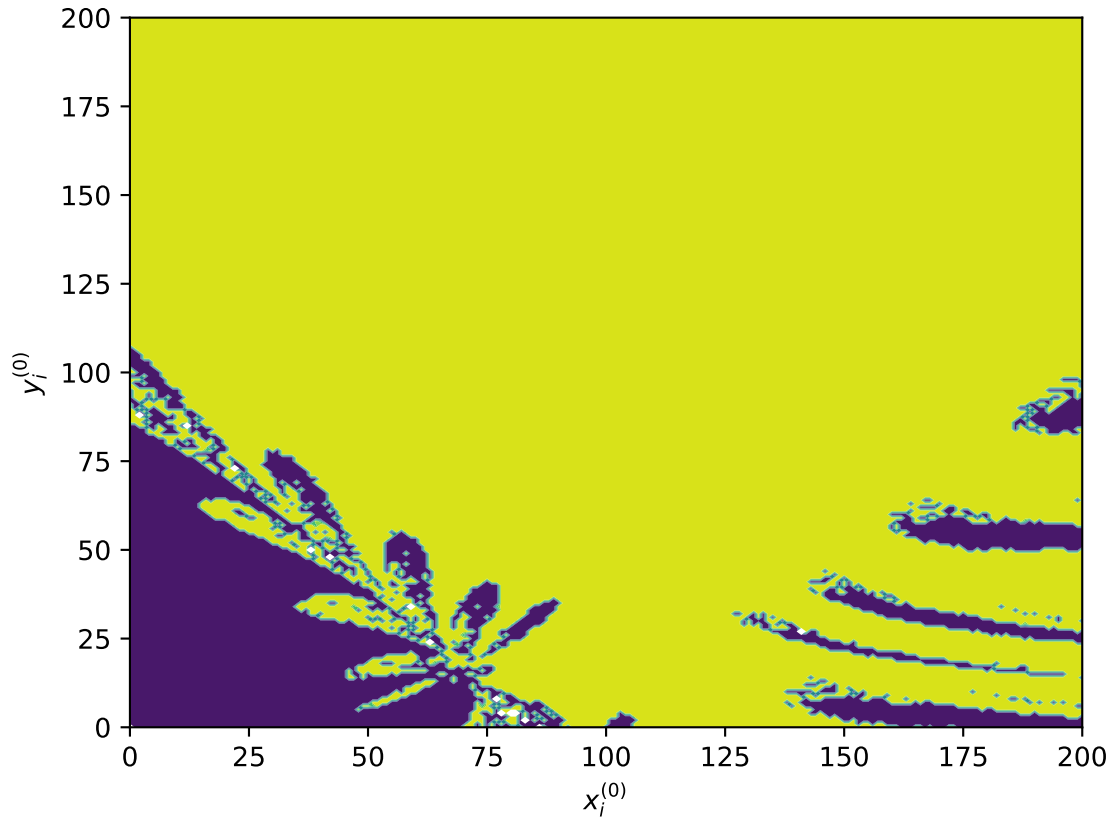


Рис. 4. Линии уровня для матрицы, полученной методом градиентного спуска относительно $\frac{x_i^{(0)}}{15}$ и $\frac{x_i^{(0)}}{15}$

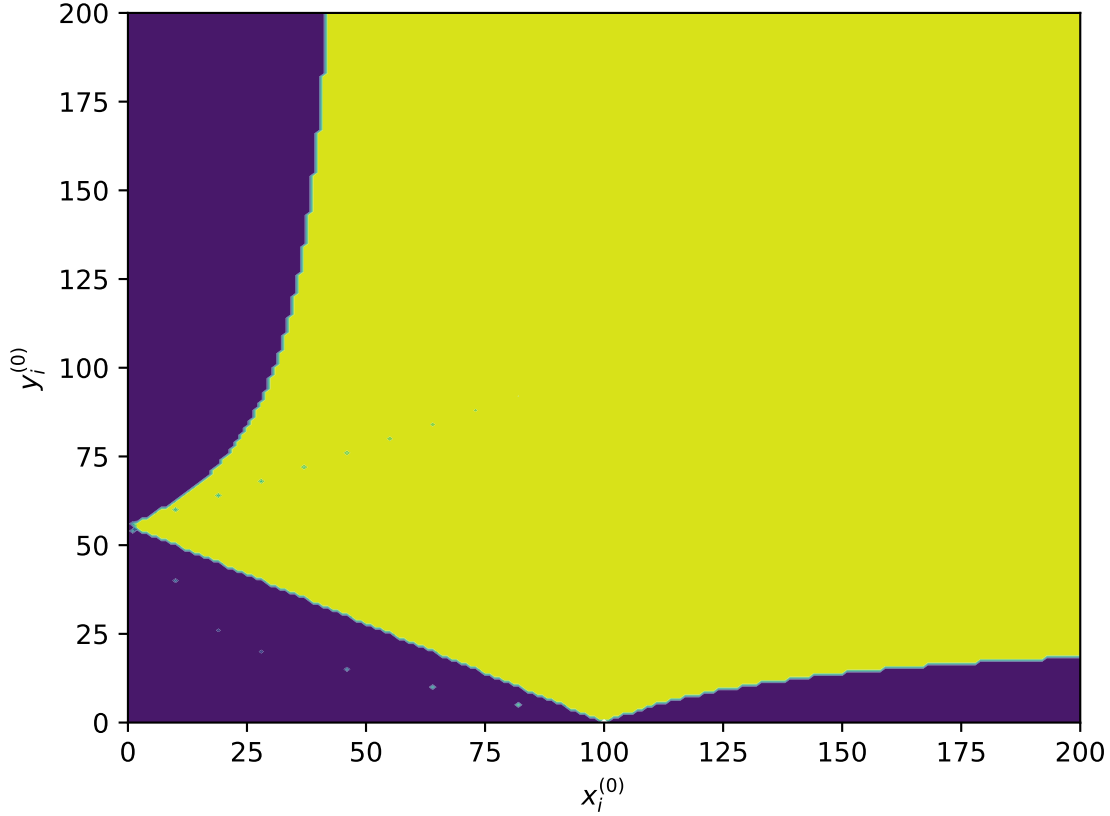


Рис. 5. Линии уровня для матрицы, полученной методом Ньютона относительно $\frac{x_i^{(0)}}{15}$ и $\frac{y_i^{(0)}}{15}$

По данным линиям уровня видно, что матрица, полученная методом Ньютона является более точной, что может быть связано с очень малыми значениями шага и вследствие накоплением машинной погрешности в методе градиентного спуска.

Математическое ожидание количества итераций вычисляется по формуле:

$$M = \frac{1}{n^2} \sum_{i=0}^n n \sum_{j=0}^n n c_{ij},$$

где $n, m = 200$ - количество итераций изменения начальных значений $x^{(0)}$ и $y^{(0)}$, c_{ij} - количество итераций метода на шаге i, j .

Значение математического ожидания количества итераций для метода Ньютона ≈ 6.669 ; для метода градиентного спуска ≈ 68.406 .

Среднеквадратичное отклонение количества итераций вычисляется по формуле:

$$S = \frac{1}{n^2 - 1} \sqrt{\sum_{i=0}^n n \sum_{j=0}^n n (c_{ij} - M)^2},$$

где $n, m = 200$ - количество итераций изменения начальных значений $x^{(0)}$ и $y^{(0)}$, c_{ij} - количество итераций метода на шаге i, j ; M - математическое ожидание количества итераций.

Значение среднеквадратичного отклонения количества итераций для метода Ньютона ≈ 1.740 ; для метода градиентного спуска ≈ 1684.652 .

Для демонстрации сходимости методов, построены графики $y = \lambda x$, где λ отражает степень сходимости функции и вычисляется по формуле:

$$\lambda = \frac{|x^{k+1} - x^*|}{|x^k - x^*|^\alpha},$$

где $\alpha = 1$ при линейной сходимости и 2 при квадратичной.

Для точки $x^{(0)} = 1800$, $y^{(0)} = 400$ построены графики $y = \lambda x$:

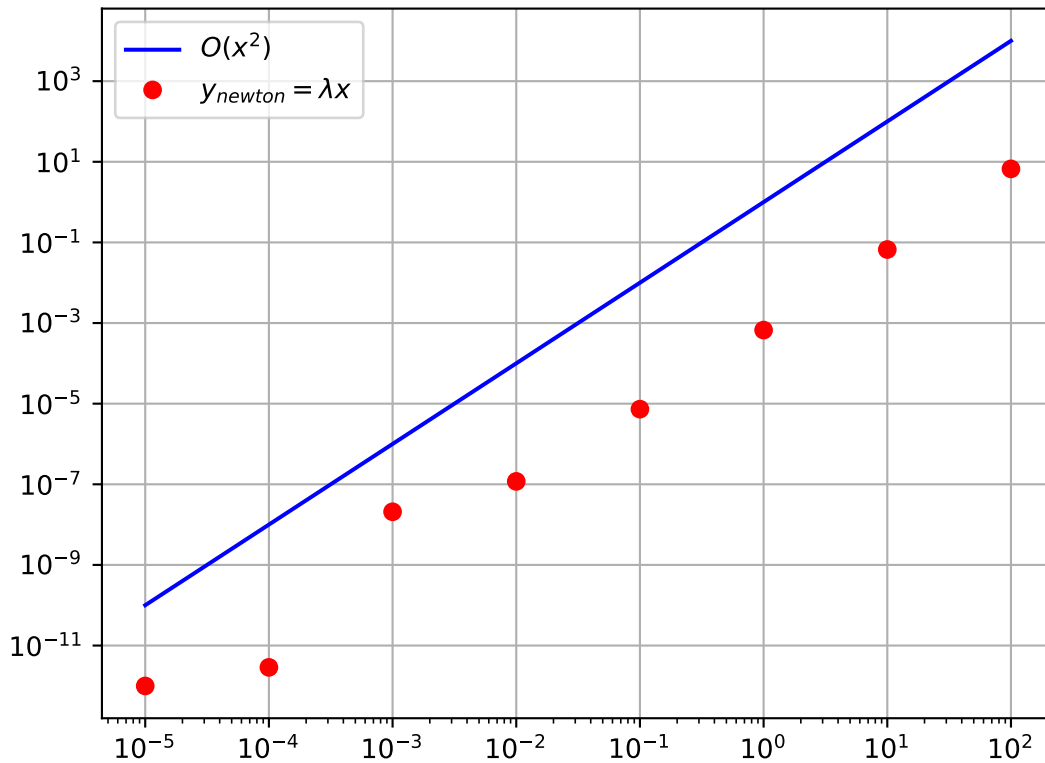


Рис. 6. График сходимости метода Ньютона

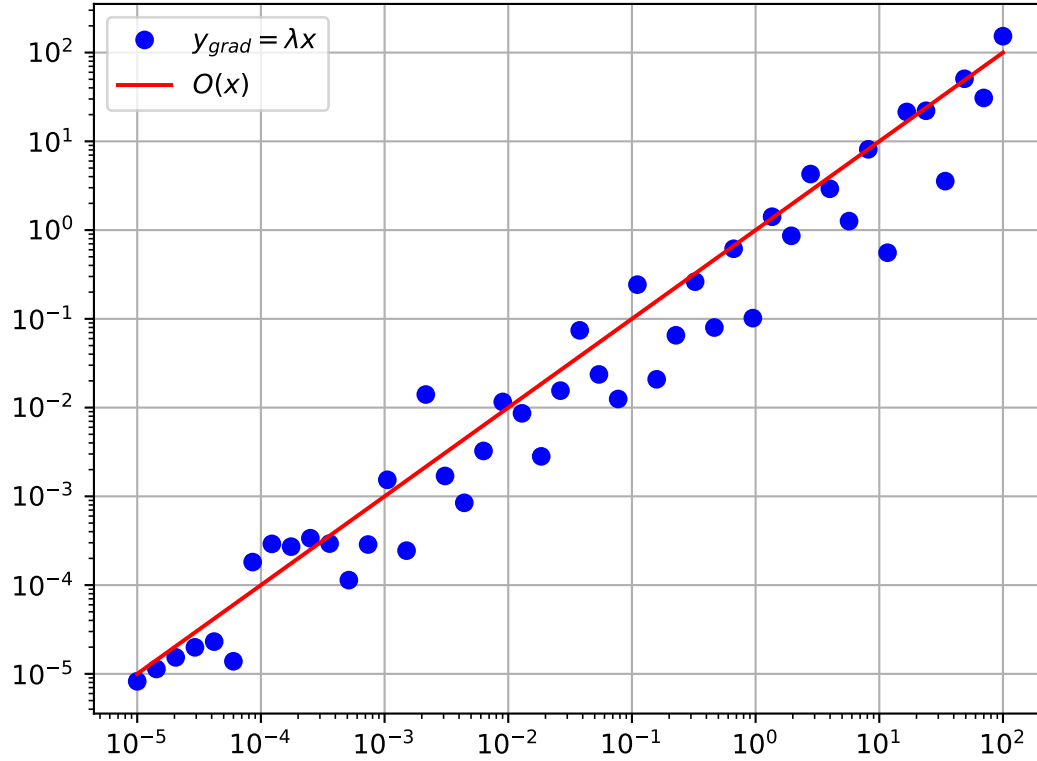


Рис. 7. График сходимости метода градиентного спуска

Данные графики подтверждают квадратичную сходимость метода Ньютона и линейную сходимость метода градиентного спуска.

Вывод по продвинутой части

По полученным данным можно сделать следующие выводы: Нахождении стационарных точек методом градиентного спуска в сравнении с нахождением методом Ньютона является более медленным процессом, так как требует большего количества итераций из-за линейной сходимости, в отличие от квадратичной у Ньютона. Также в методе градиентного спуска наблюдается меньшая точность и больший разброс значений вследствие накопления погрешности из-за большого количества итераций и маленьких значений, участвующих в вычислениях.

3 Заключение

1. В базовой части была проанализирована траектория модели Лотки-Вольтерры;



2. В продвинутой части проанализирована точность и производительность метода Ньютона и градиентного спуска для нахождения стационарных точек.

Список использованных источников

1. Першин А.Ю. Лекции по курсу «Вычислительная математика». Москва, 2018-2021. С. 140. URL: <https://archrk6.bmstu.ru/index.php/f/810046>.
2. Соколов, А.П. Инструкция по выполнению лабораторных работ (общая). Москва: Соколов, А.П., 2018-2021. С. 9. URL: <https://archrk6.bmstu.ru>. (облачный сервис кафедры РК6).
3. Соколов, А.П. Инструкция по выполнению заданий к семинарским занятиям (общая). Москва: Соколов, А.П., 2018-2022. С. 7. URL: <https://archrk6.bmstu.ru>. (облачный сервис кафедры РК6).
4. Першин А.Ю. Сборник задач семинарских занятий по курсу «Вычислительная математика»: Учебное пособие. / Под редакцией Соколова А.П. [Электронный ресурс]. Москва, 2018-2021. С. 20. URL: <https://archrk6.bmstu.ru>. (облачный сервис кафедры РК6).
5. Першин А.Ю., Соколов А.П. Сборник постановок задач на лабораторные работы по курсу «Вычислительная математика»: Учебное пособие. [Электронный ресурс]. Москва, 2021. С. 54. URL: <https://archrk6.bmstu.ru>. (облачный сервис кафедры РК6).

Выходные данные

Кильдишев П.С. Отчет о выполнении лабораторной работы по дисциплине «Вычислительная математика». [Электронный ресурс] — Москва: 2022. — 16 с. URL: <https://sa2systems.ru:88> (система контроля версий кафедры РК6)

Постановка:  доцент кафедры РК-6, PhD А.Ю. Першин
Решение и вёрстка:  студент группы РК6-56Б, Кильдишев П.С.

2022, осенний семестр